



## บทที่ 4

### ผลการทดลองและอภิปราย

ข้อมูลที่ได้จากการทดลองได้นำมาสร้างแผนภูมิแสดงความเข้มข้นของไฮโดรเจนอ็อกไซด์ ( $H^+$ ) และปริมาณคลอไรด์อ็อกไซด์รวม (Total Cl<sup>-</sup>) กับลักษณะการผุกร่อนภายใต้ความเค้นของเหล็กกล้าไร้สนิมออสเทนนิติกเกรด 316L ที่เกิดขึ้นที่อุณหภูมิห้อง (32°C), 42°C, 55°C, และ 75°C สร้างกราฟอัตราการผุกร่อน และกราฟลักษณะเส้นโพลาริเซชัน

#### 4.1 ผลของอุณหภูมิและความเข้มข้นของสารละลายผสมระหว่างกรดไฮโดรคลอริกและเกลือโซเดียมคลอไรด์ต่อลักษณะการผุกร่อน

รูปที่ 4.1 แสดงแผนภูมิการผุกร่อนภายใต้ความเค้นของเหล็กกล้าไร้สนิมออสเทนนิติกเกรด 316L ที่อุณหภูมิห้อง ลักษณะการผุกร่อนที่ตรวจพบเกิดขึ้นมี 3 ลักษณะ คือ การผุกร่อนแบบรูพรุน (Pitting corrosion) การผุกร่อนทั่วไปแบบสม่ำเสมอ (Even general corrosion) และการผุกร่อนทั่วไปแบบไม่สม่ำเสมอ (Uneven general corrosion) ขอบเขตในแผนภูมิแบ่งได้ 3 ส่วน คือ ส่วนที่ไม่เกิดการผุกร่อน (No corrosion) ส่วนที่เกิดการผุกร่อนแบบรูพรุนและการผุกร่อนทั่วไปแบบสม่ำเสมอ และส่วนที่เกิดการผุกร่อนทั่วไปแบบไม่สม่ำเสมอ โดยขึ้นอยู่กับความเข้มข้นของไฮโดรเจนอ็อกไซด์และปริมาณคลอไรด์อ็อกไซด์ที่มีอยู่ในสารละลายผสม เมื่อความเข้มข้นของไฮโดรเจนอ็อกไซด์เพิ่มขึ้น โดยที่ปริมาณคลอไรด์อ็อกไซด์คงที่ จะทำให้การผุกร่อนรุนแรงขึ้น และลักษณะการผุกร่อนเปลี่ยนแปลงไป เมื่อตรวจสอบลักษณะของการผุกร่อนที่ภาคตัดขวางที่ผิวส่วนโค้งของชิ้นทดสอบด้วยเครื่อง SEM ในส่วนที่เกิดรูพรุนและการผุกร่อนทั่วไปแบบสม่ำเสมอ ไม่พบรอยแตกร้าวในทุกตัวอย่าง รูปที่ 4.2 แสดงภาพถ่ายด้วยเครื่อง SEM ของชิ้นงานที่ผ่านการทดสอบในสารละลายผสมระหว่างกรดไฮโดรคลอริก 0.1 โมล/ลิตร และเกลือโซเดียมคลอไรด์ 4.9 โมล/ลิตร ที่อุณหภูมิ 32°C เป็นภาพถ่ายตัวอย่าง ทำนองเดียวกันเมื่อเพิ่มปริมาณคลอไรด์อ็อกไซด์ในสารละลายโดยที่ความเข้มข้นของไฮโดรเจนอ็อกไซด์คงที่ ลักษณะของการผุกร่อนก็จะรุนแรงขึ้น การเพิ่มความเข้มข้นของไฮโดรเจนอ็อกไซด์และคลอไรด์อ็อกไซด์ในสารละลายจะเพิ่มความรุนแรงของการผุกร่อนภายใต้ความเค้นของเหล็กกล้าไร้สนิมออสเทนนิติกเกรด 316L แม้ว่าบางส่วนของชิ้นงานทดสอบรูปตัวยู จะมีค่าความเค้นมากกว่าค่าความเค้นจุดคราก (Yield strength) แต่ไม่ปรากฏรอยแตกเกิดขึ้น

สิ่งที่น่าสนใจประการหนึ่งในแผนภูมิการสุกก่อนภายใต้ความดัน รูปที่ 4.1 นี้คือ ทั้งคลอไรด์ไอออนและไฮโดรเจนไอออน มีผลร่วมกันต่อลักษณะของการสุกก่อน ขณะที่ความเข้มข้นของคลอไรด์ไอออนเพิ่มมากขึ้นจาก 0 – 6 โมล/ลิตร ความเข้มข้นของไฮโดรเจนไอออนที่มีผลต่อการเปลี่ยนแปลงลักษณะการสุกก่อนจะลดลงจาก 1 โมล/ลิตรเป็น 0.02 โมล/ลิตร เส้นแบ่งบริเวณลักษณะของการสุกก่อนจะเปลี่ยนแปลงความชัน เมื่อความเข้มข้นสารละลายผสมระหว่างคลอไรด์ไอออนและไฮโดรเจนไอออนถึงจุดหนึ่งดังในรูป 4.1 เส้นแบ่งบริเวณลักษณะการสุกก่อนแบบทั่วไป สมมาตรและแบบรูพรุนกับบริเวณไม่สังเกตเห็นการสุกก่อนจะมีค่าความเข้มข้นวิกฤตที่ความเข้มข้นคลอไรด์ไอออน 3 โมล/ลิตร และความเข้มข้นของกรดไฮโดรคลอริก 0.05 โมล/ลิตร ทำนองเดียวกันกับเส้นแบ่งบริเวณการสุกก่อนทั่วไปแบบสมมาตรและแบบรูพรุนกับบริเวณการสุกก่อนทั่วไปแบบไม่สมมาตร ความชันของเส้นแบ่งนี้จะเปลี่ยนแปลงที่ค่าความเข้มข้นคลอไรด์ไอออนประมาณ 3.8 โมล/ลิตร และค่าความเข้มข้นของกรดไฮโดรคลอริก 0.25 โมล/ลิตร จากสิ่งที่น่าสนใจประการนี้ ก่อให้เกิดคำถามที่ต้องทำการทดลองและหาคำอธิบายต่อไปซึ่งจะขอละไว้ในที่นี้ คำถามนี้ คือ คลอไรด์ไอออน และไฮโดรเจนไอออนมีผลร่วมกันต่อฟิล์มที่ป้องกันการสุกก่อนของเหล็กกล้าไร้สนิมเกรด 316L นี้อย่างไร จึงทำให้ความชันของเส้นแบ่งบริเวณลักษณะการสุกก่อนเปลี่ยนแปลงที่ค่าความเข้มข้นคลอไรด์ไอออนและไฮโดรเจนไอออนค่าหนึ่ง

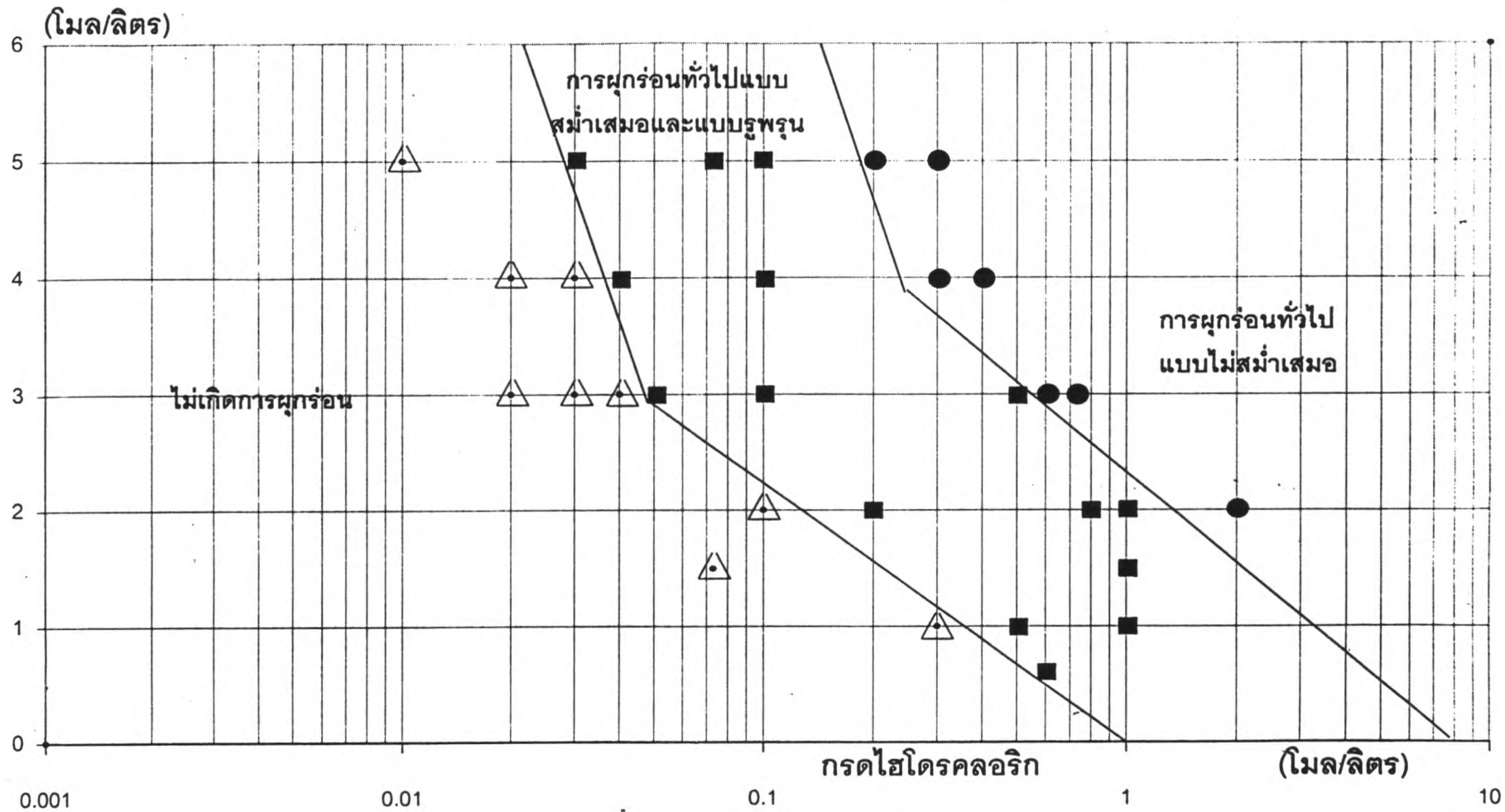
ผลจากการศึกษาอิทธิพลของอุณหภูมิต่อแผนภูมิ รูปที่ 4.1 นี้ ได้แสดงไว้ในรูปที่ 4.3, 4.4 และ 4.5 ที่อุณหภูมิ 42°C, 55°C และ 75°C ตามลำดับ การเพิ่มปริมาณคลอไรด์ และไฮโดรเจนไอออนก็ให้ผลทำนองเดียวกับรูปที่ 4.1 หรือผลการทดลองที่อุณหภูมิ 32°C

ลักษณะการสุกก่อนก็ยังคงเป็น 3 แบบ คือ การสุกก่อนแบบรูพรุน การสุกก่อนทั่วไปแบบสมมาตร และแบบไม่สมมาตร และแบ่งออกเป็น 3 ส่วน ผลการตรวจลักษณะการสุกก่อนด้วย SEM ไม่พบรอยที่แสดงให้เห็นเป็นรอยแตกร้าว ดังแสดงในรูปที่ 4.6, 4.7 และ 4.8 ความชันของเส้นแบ่งบริเวณลักษณะการสุกก่อนก็ยังคงเปลี่ยนไปที่ค่าความเข้มข้นคลอไรด์ไอออนและไฮโดรเจนไอออนค่าหนึ่ง

จากการเปรียบเทียบผลของอุณหภูมิต่อการสุกก่อนภายใต้ความดัน คือ แผนภูมิรูปที่ 4.1, 4.3, 4.4 และ 4.5 โดยการรวบรวมแผนภูมิใหม่เป็นรูปที่ 4.9 จะพบว่า การเพิ่มอุณหภูมิ มีผลทำให้ความรุนแรงของการสุกก่อนเพิ่มขึ้น ในรูปที่ 4.9 จะเห็นว่าเส้นแบ่งเขตระหว่างบริเวณที่ไม่เกิดการสุกก่อน บริเวณที่เกิดการสุกก่อนทั่วไปแบบสมมาตรผสมแบบรูพรุน และบริเวณที่เกิดการสุกก่อนทั่วไปแบบไม่สมมาตรเปลี่ยนแปลงไปทางด้านที่ความเข้มข้นของคลอไรด์ไอออนและไฮโดรเจนไอออนลดลง ทั้งนี้เป็นเพราะว่าอุณหภูมิมีผลลดเสถียรภาพของฟิล์มบนผิวเหล็กกล้าไร้สนิมเพราะทำให้อิออนที่ก่อตัวเป็นองค์ประกอบของฟิล์มเคลื่อนที่ได้เร็วมากขึ้น [12, 13]

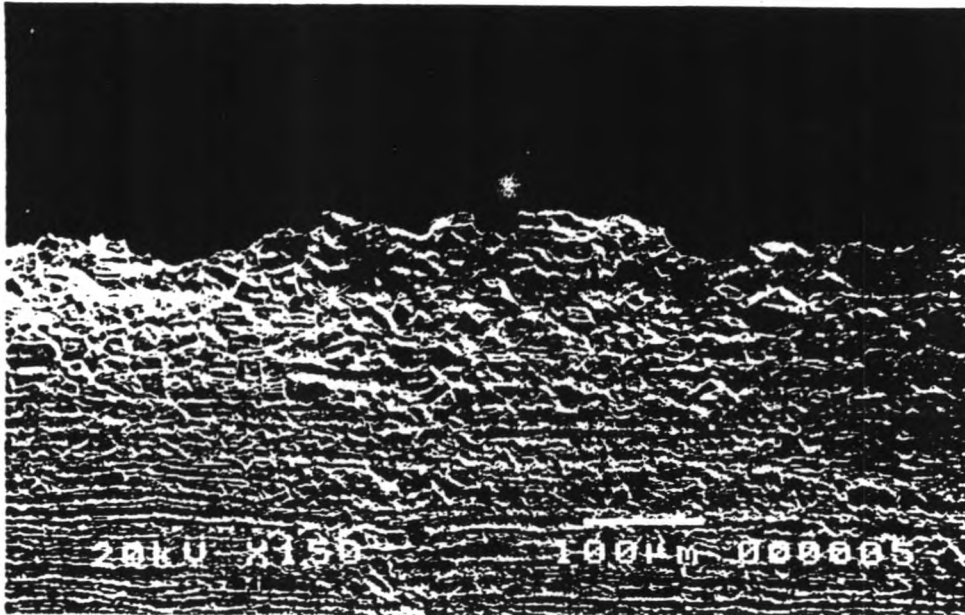
ผลของอุณหภูมิมีแนวโน้มทำให้บริเวณที่พบการสุกก่อนแบบรูปทรงและการสุกก่อนทั่วไปแบบ  
สม่ำเสมอกว้างมากขึ้น ดังรูปที่ 4.9

คลอไรด์ไอออนรวม

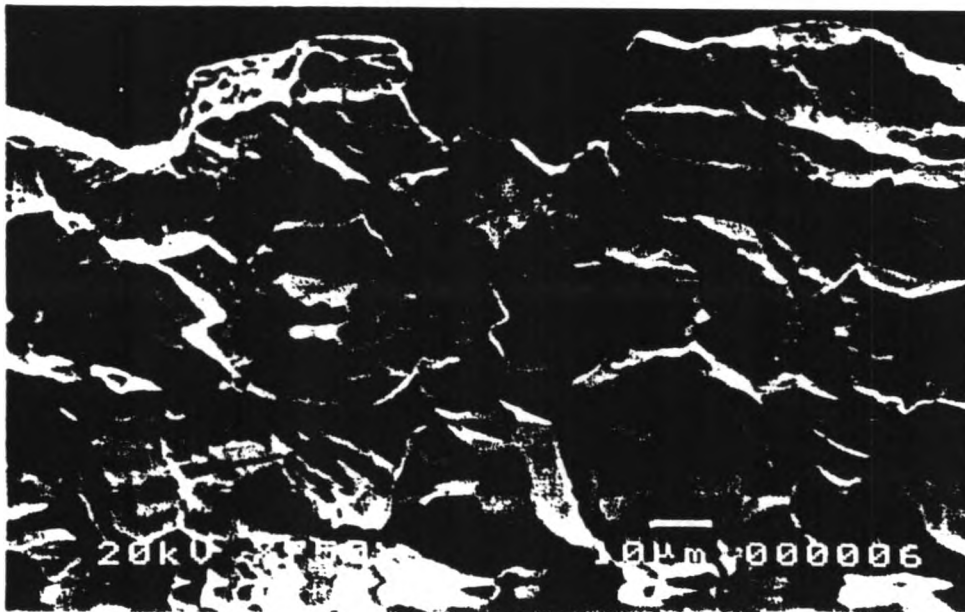


รูปที่ 4.1 แผนภูมิแสดงลักษณะการฟุกร่อนภายใต้ความเข้มข้นของเหล็กกล้าไร้สนิมอสเทนนิติกเกรด 316 L ในสารละลายผสมระหว่างกรดไฮโดรคลอริกและเกลือโซเดียมคลอไรด์ ที่อุณหภูมิ 32°C

▲ ไม่สังเกตเห็นการฟุกร่อน    ■ การฟุกร่อนทั่วไปแบบสม่ำเสมอและแบบบูรพูน    ● การฟุกร่อนทั่วไปแบบไม่สม่ำเสมอ



ก. X 150

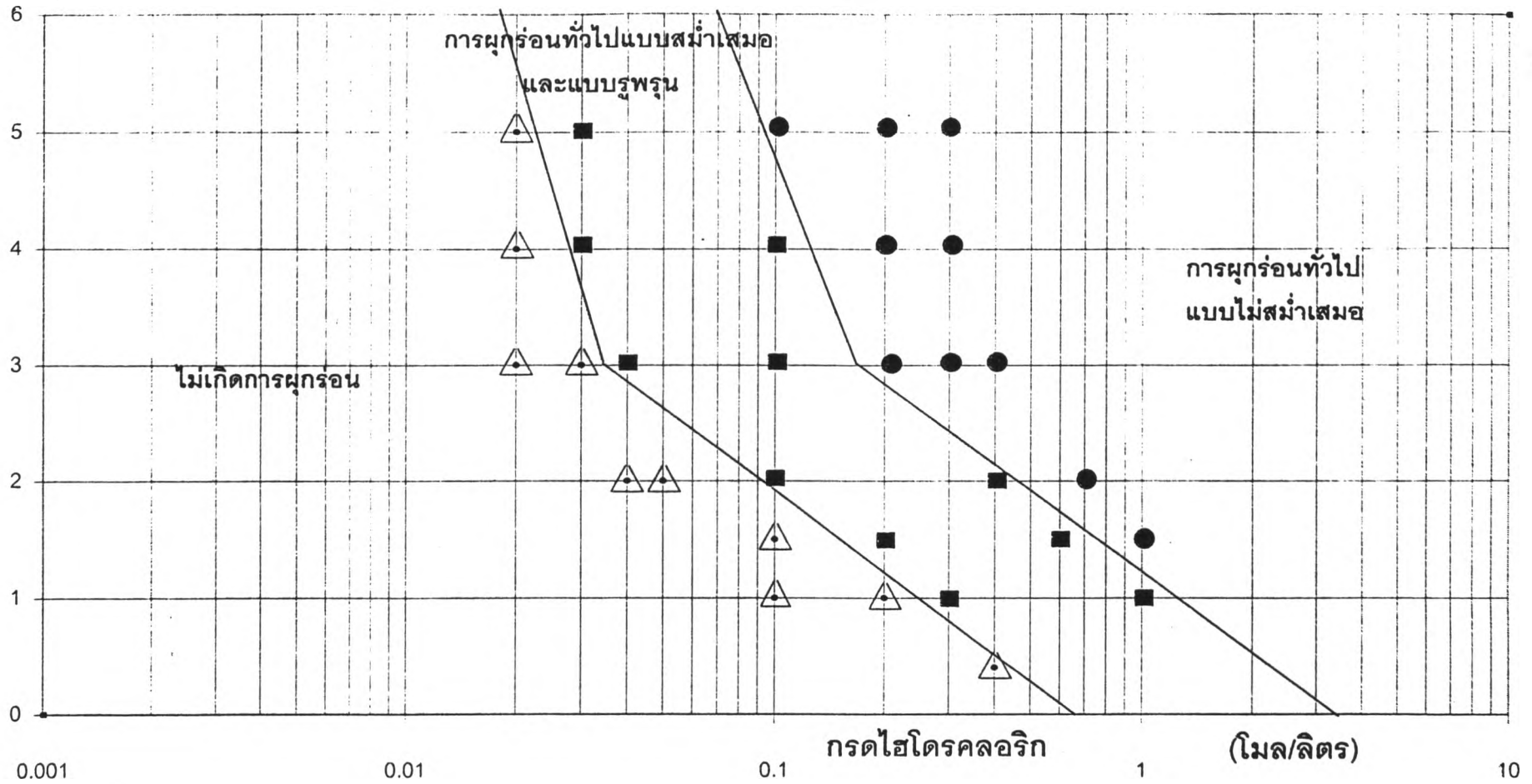


ข. X 750

รูปที่ 4.2 ภาพถ่ายด้วยเครื่อง SEM แสดงลักษณะการผุกร่อนภายใต้ความเค้นของเหล็กกล้าไร้สนิมออสเทนนิติก 316L ที่บริเวณผิวส่วนโค้งขึ้นทศรอบรูปตัวยู ในสารละลายผสมระหว่างกรดไฮโดรคลอริก 0.1 โมล/ลิตร และเกลือโซเดียมคลอไรด์ 4.9 โมล/ลิตร ที่อุณหภูมิ 32° C

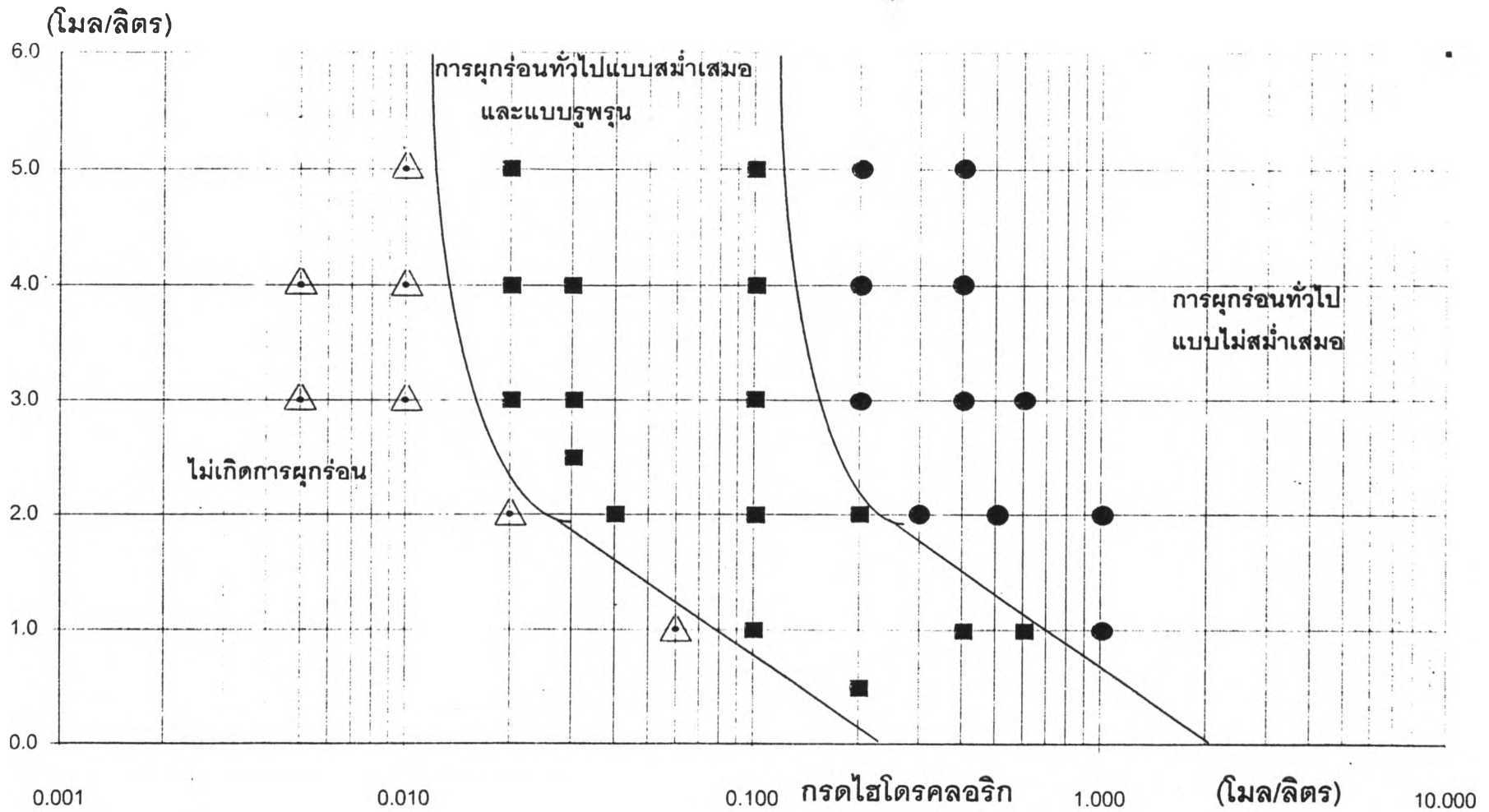
คลอไรด์ไอออนรวม

(โมล/ลิตร)



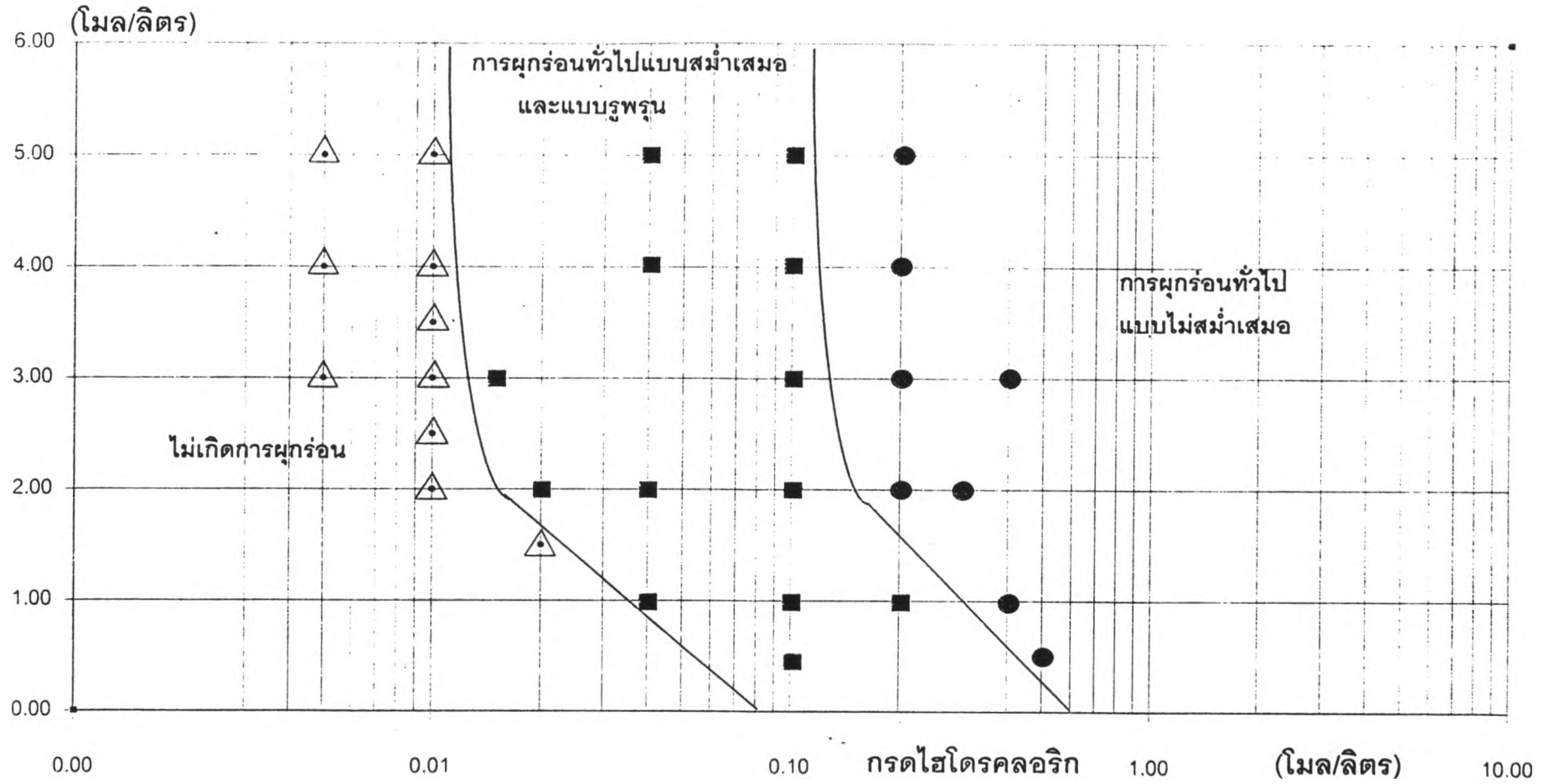
รูปที่ 4.3 แผนภูมิแสดงลักษณะการผุกร่อนภายใต้ความเค้นของเหล็กกล้าไร้สนิมออสเทนนิติกเกรด 316L ในสารละลายผสมระหว่างกรดไฮโดรคลอริกและเกลือโซเดียมคลอไรด์ ที่อุณหภูมิ 42°C  $\Delta$  ไม่สังเกตเห็นการผุกร่อน  $\blacksquare$  การผุกร่อนทั่วไปแบบสม่ำเสมอและแบบรูพรุน  $\bullet$  การผุกร่อนทั่วไปแบบไม่สม่ำเสมอ

คลอไรด์ไอออนรวม



รูปที่ 4.4 แผนภูมิแสดงลักษณะการผุกร่อนภายใต้ความเค้นของเหล็กกล้าไร้สนิมออสเทนนิติกเกรด 316L ในสารละลายผสมระหว่างกรดไฮโดรคลอริกและเกลือโซเดียมคลอไรด์ ที่อุณหภูมิ 55°C △ ไม่สังเกตเห็นการผุกร่อน ■ การผุกร่อนทั่วไปแบบสม่ำเสมอและแบบรูพรุน ● การผุกร่อนทั่วไปแบบไม่สม่ำเสมอ

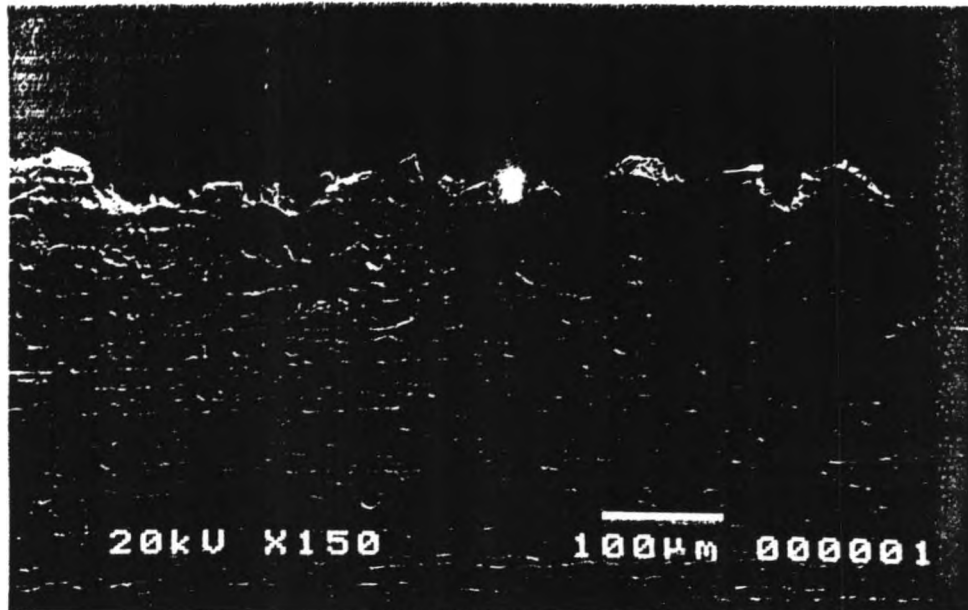
คลอไรด์ไอออนรวม



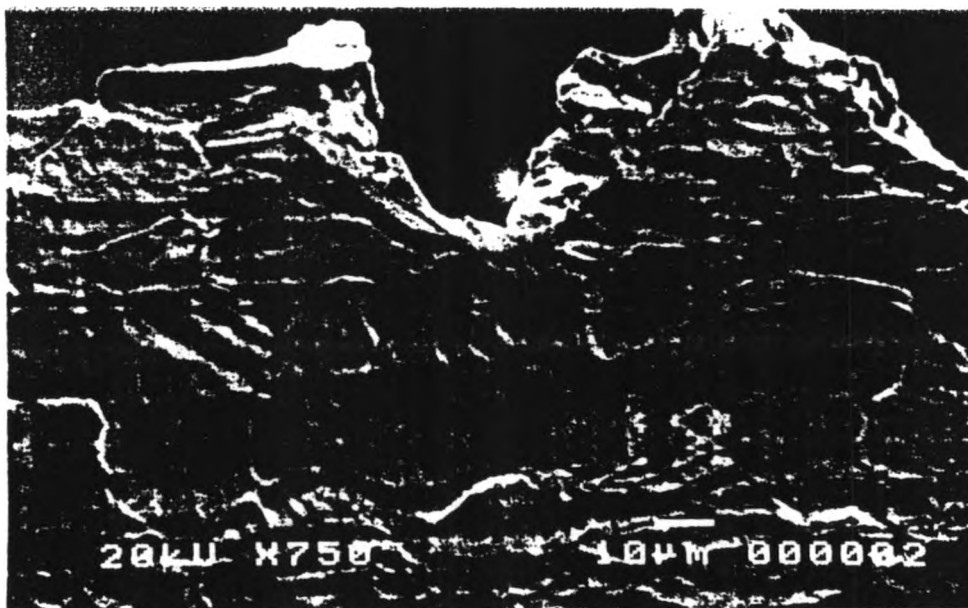
รูปที่ 4.5 แผนภูมิแสดงลักษณะการฟุ้งร่อนภายใต้ความเค้นของเหล็กกล้าไร้สนิมออสเทนนิติกเกรด 316L ในสารละลายผสมระหว่างกรดไฮโดรคลอริกและเกลือโซเดียมคลอไรด์

ที่อุณหภูมิ 75°C  $\Delta$  ไม่สังเกตเห็นการฟุ้งร่อน  $\blacksquare$  การฟุ้งร่อนทั่วไปแบบสม่ำเสมอและแบบรูพรุน  $\bullet$  การฟุ้งร่อนทั่วไปแบบไม่สม่ำเสมอ



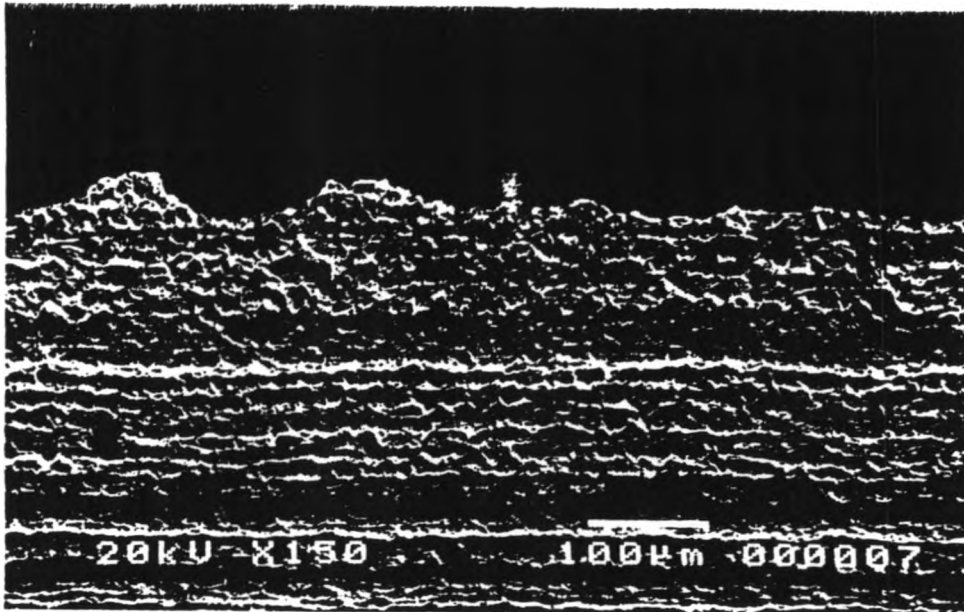


ก. X 150



ข. X 750

รูปที่ 4.6 ภาพถ่ายด้วยเครื่อง SEM แสดงลักษณะการหุกร่อนภายใต้ความเค้นของเหล็กกล้าไร้สนิม ออสเทนนิติกเกรด 316L ที่บริเวณผิวส่วนโค้งชิ้นงานทดสอบด้วย ในสารละลายผสมระหว่าง กรดไฮโดรคลอริก 0.1 โมล/ลิตร และเกลือโซเดียมคลอไรด์ 3.9 โมล/ลิตร ที่อุณหภูมิ 42°C  
 ก) กำลังขยาย 150 เท่า                      ข) กำลังขยาย 750 เท่า

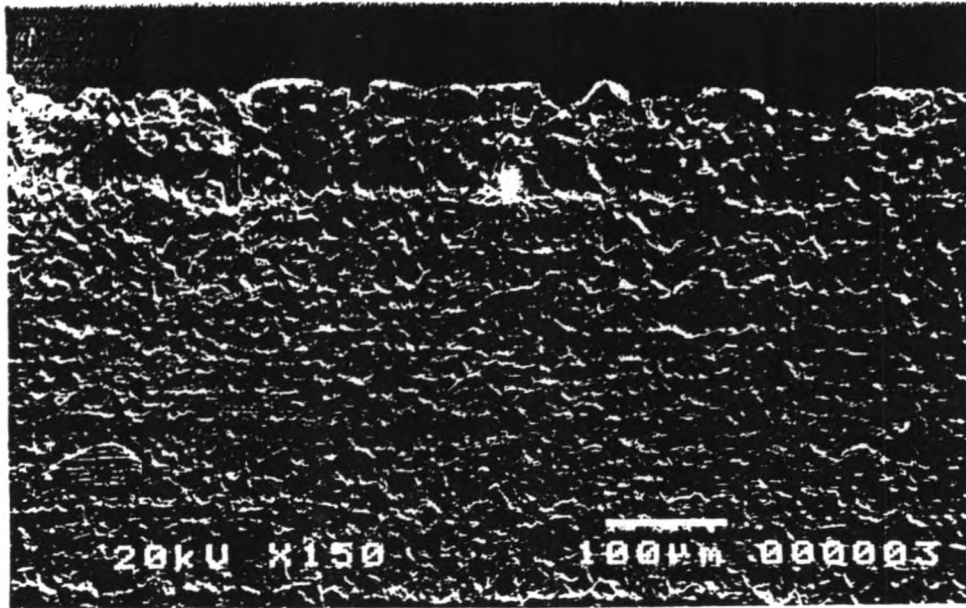


ก. X150

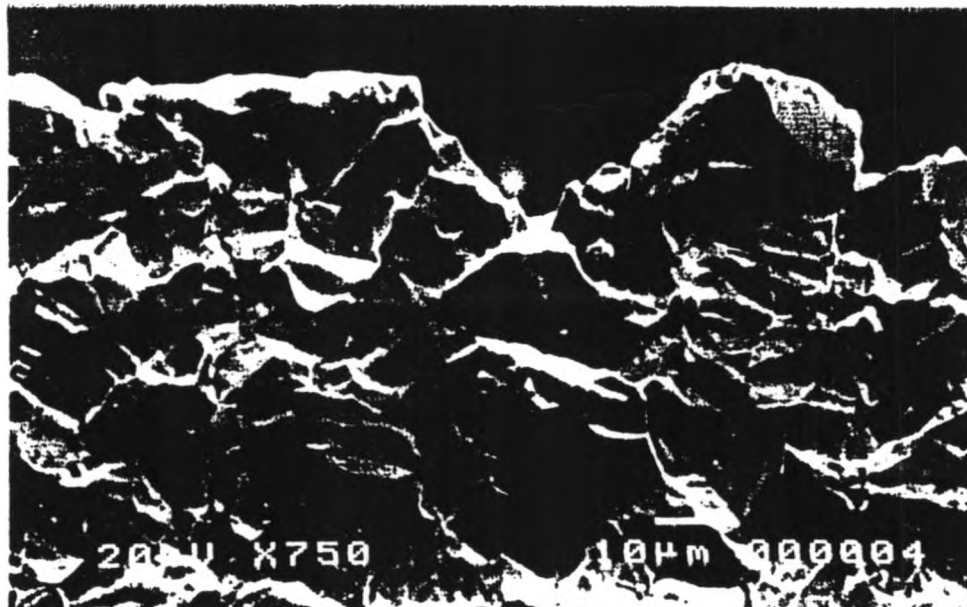


ข. X 750

รูปที่ 4.7 ภาพถ่ายด้วยเครื่อง SEM แสดงลักษณะการหุกร่อนภายใต้ความเค้นของเหล็กกล้าไร้สนิมออสเทนนิติกเกรด 316L ที่บริเวณผิวส่วนโค้งชิ้นงานทดสอบด้วย ในสารละลายผสมระหว่างกรดไฮโดรคลอริก 0.1 โมล/ลิตร และเกลือโซเดียมคลอไรด์ 4.9 โมล/ลิตร ที่อุณหภูมิ 55°C



ก. X 150

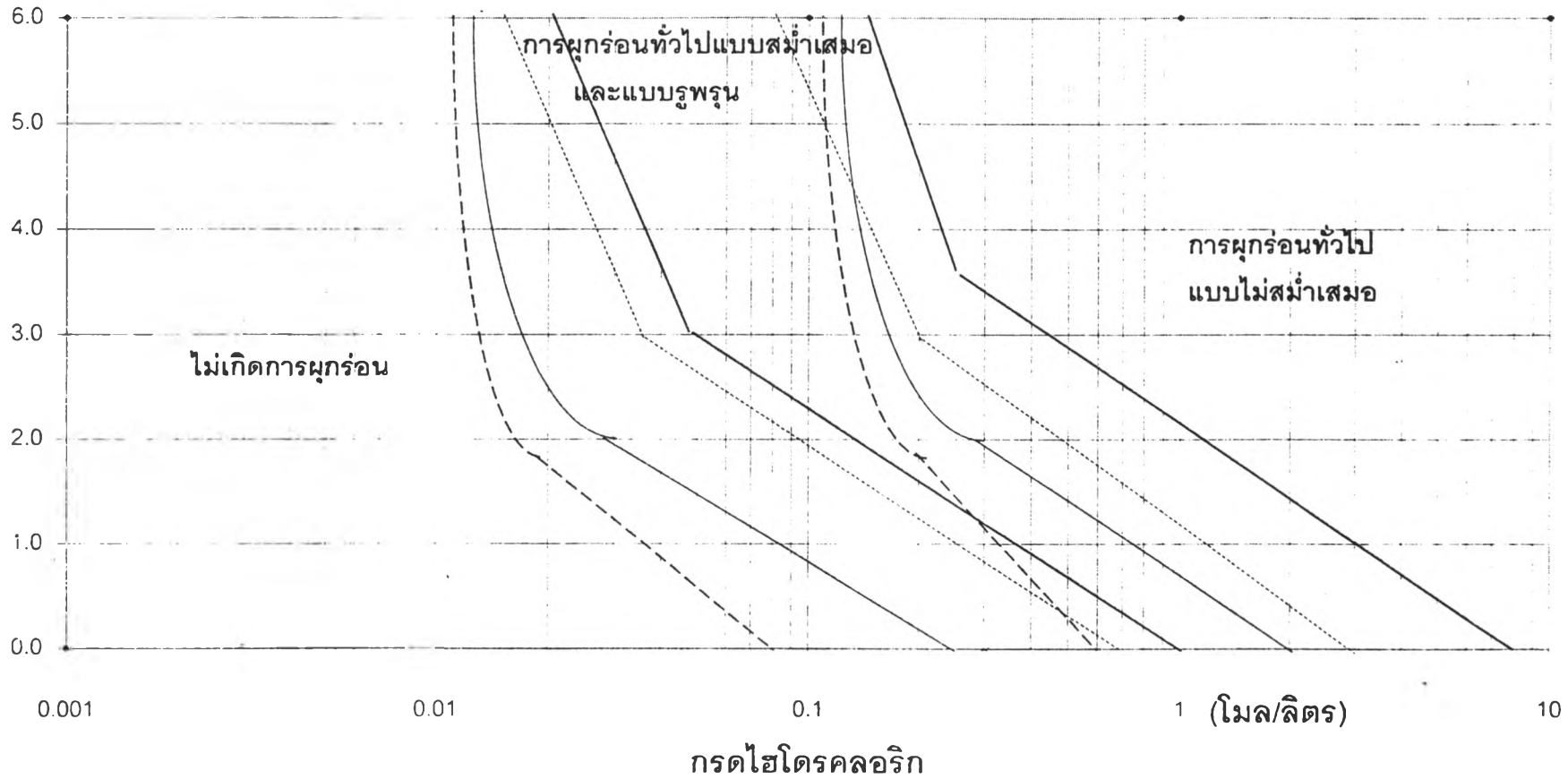


ข. X 750

รูปที่ 4.8 ภาพถ่ายด้วยเครื่อง SEM แสดงลักษณะการหุกร่อนภายใต้ความเค้นของเหล็กกล้าไร้สนิม ออสเทนนิติกเกรด 316L ที่บริเวณผิวส่วนโค้งชิ้นงานทดสอบด้วย ในสารละลายผสม ระหว่างกรดไฮโดรคลอริก 0.04 โมล/ลิตร และเกลือโซเดียมคลอไรด์ 4.96 โมล/ลิตร ที่ อุณหภูมิ 75°C

คลอไรด์ไอออนรวม

(ไมล/ลิตร)



รูปที่ 4.9 แผนภูมิรวม เปรียบเทียบผลของอุณหภูมิและความเข้มข้นสารละลายผสมระหว่างกรดไฮโดรคลอริกและปริมาณคลอไรด์ต่าง ๆ ต่อลักษณะการผุกร่อนภายใต้ความเค้นของเหล็กกล้าไร้สนิมออสเทนนิติกเกรด 316L — 32°C ..... 42°C — 55°C - - - 75°C

## 4.2 ผลการวัดเส้นโพลาริเซชันต่อพฤติกรรมการณ์การผุกร่อนภายใต้ความเค้น

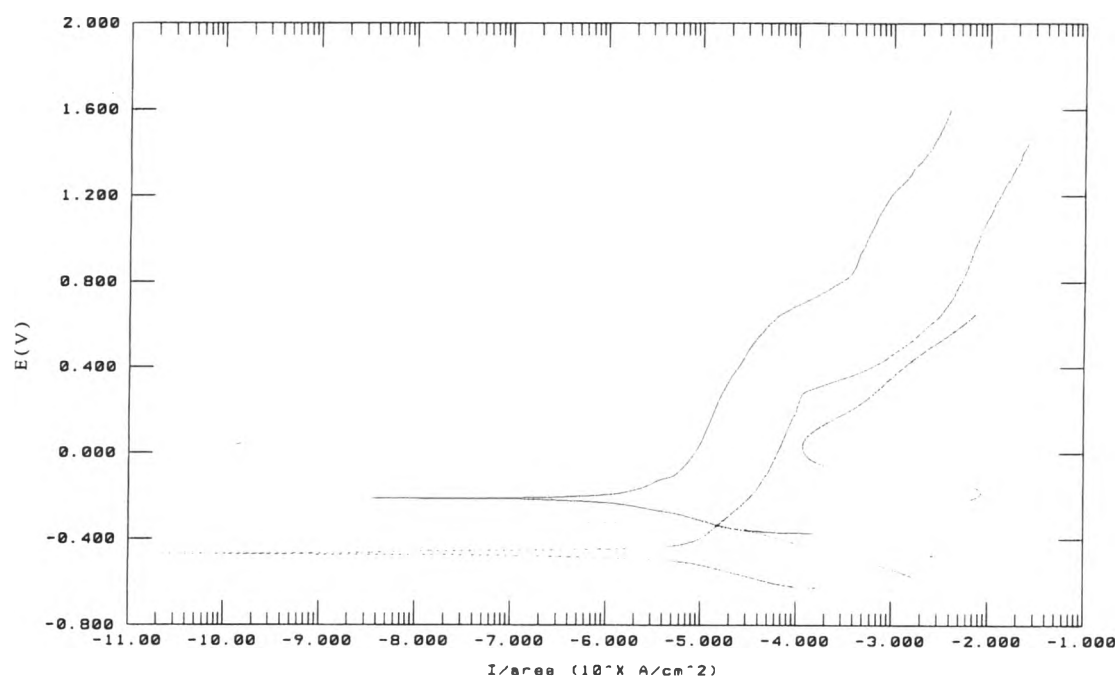
ผลการวัดเส้นโพลาริเซชันของเหล็กกล้าไร้สนิมออสเทนนิติกเกรด 316L ที่อุณหภูมิ 30°C ในสารละลายกรดไฮโดรคลอริกความเข้มข้นต่าง ๆ แสดงในรูปที่ 4.10 ในสารละลายผสมระหว่างกรดไฮโดรคลอริกความเข้มข้นคงที่ กับเกลือโซเดียมคลอไรด์ แสดงในรูปที่ 4.11 ในสารละลายผสมระหว่างกรดไฮโดรคลอริกกับเกลือโซเดียมคลอไรด์ความเข้มข้นคงที่แสดงในรูปที่ 4.12

ในรูปที่ 4.10 เมื่อความเข้มข้นของกรดไฮโดรคลอริกเพิ่มขึ้นจาก 0.01 โมล/ลิตร เป็น 1.0 โมล/ลิตร ค่ากระแสไฟฟ้าฟิล์มพาสซีฟ ( $I_p$ ) มากขึ้น ซึ่งให้เห็นว่า กรดไฮโดรคลอริกมีผลในการลดเสถียรภาพของฟิล์ม สารละลายผสมระหว่างกรดไฮโดรคลอริกกับเกลือโซเดียมคลอไรด์ มีผลต่อลักษณะเส้นโพลาริเซชันของเหล็กกล้าไร้สนิมเกรด 316L คล้ายกับสารละลายกรดไฮโดรคลอริก ในรูปที่ 4.11 เมื่อความเข้มข้นของเกลือโซเดียมคลอไรด์เพิ่มขึ้นจาก 0.9 โมล/ลิตร - 3.9 โมล/ลิตร ที่ความเข้มข้นของกรดไฮโดรคลอริกคงที่ที่ 0.1 โมล/ลิตร ช่วงพาสซีวิตี (Passivity) ลดลง และค่ากระแสไฟฟ้าฟิล์มพาสซีฟมากขึ้น แสดงให้เห็นว่า ความเสถียรของฟิล์มต่ำลงทำให้ง่ายต่อการเกิดการผุกร่อน รูปที่ 4.12 ให้ผลคล้ายกันกับรูปที่ 4.11 ซึ่งเป็นกรณีที่ความเข้มข้นของเกลือโซเดียมคลอไรด์คงที่ที่ 3 โมล/ลิตร และความเข้มข้นของกรดไฮโดรคลอริกเพิ่มขึ้นจาก 0.02 โมล/ลิตร เป็น 1 โมล/ลิตร

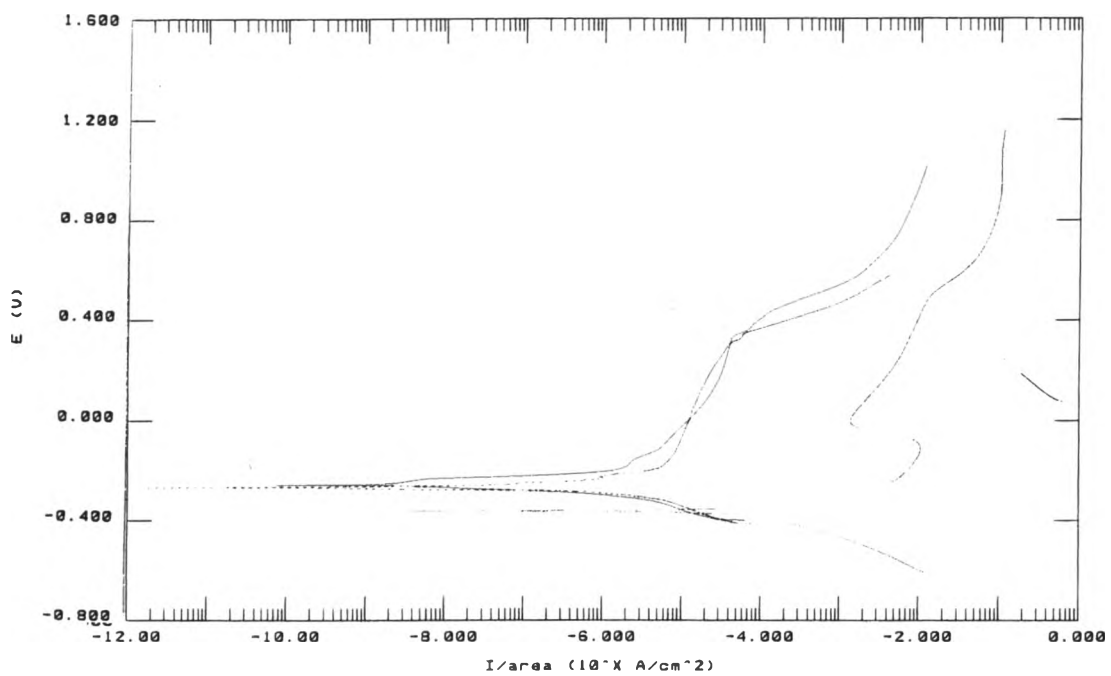
ผลที่ได้จากรูปที่ 4.10 - 4.12 คือความต้านทานการผุกร่อนของเหล็กกล้าไร้สนิมที่ได้จากการวัดเส้นโพลาริเซชันสอดคล้องกับผลการทดลองในแผนภูมิการผุกร่อนภายใต้ความเค้น รูปที่ 4.1, 4.3, 4.4 และ 4.5 ที่พบว่า เมื่อความเข้มข้นระหว่างกรดไฮโดรคลอริก และเกลือโซเดียมคลอไรด์เพิ่มขึ้น การผุกร่อนจะมีระดับความรุนแรงเพิ่มขึ้น เริ่มต้นจากการผุกร่อนทั่วไปแบบสม่ำเสมอเป็นแบบรูพรุน แล้วเปลี่ยนเป็นการผุกร่อนทั่วไปแบบไม่สม่ำเสมอ

เมื่อเปรียบเทียบผลการวัดเส้นโพลาริเซชันของเหล็กกล้าไร้สนิมเกรด 316L ในการทดลองนี้ กับเหล็กกล้าไร้สนิมเกรด 304L [14] ดังแสดงในรูปที่ 4.13 ที่ความเข้มข้นของเกลือโซเดียมคลอไรด์ค่าเดียวกัน พบว่าเหล็กกล้าไร้สนิมเกรด 316L มีค่า  $E_{CORR}$  สูงกว่า และมีช่วงพาสซีวิตีกว้างกว่า แสดงว่า มีความต้านทานการผุกร่อนมากกว่าเหล็กกล้าไร้สนิมเกรด 304L สาเหตุนี้อาจเป็นเพราะว่า เหล็กกล้าไร้สนิมเกรด 316L มีส่วนผสมของธาตุโมลิบดีนัม (Mo) ซึ่งเหล็กกล้าไร้สนิมเกรด 304L ไม่มีโมลิบดีนัมอาจมีผลช่วยเพิ่มความต้านทานการผุกร่อน [ 2, 12, 13 ] โดยอาจจะเป็นองค์ประกอบหนึ่งของฟิล์มบนผิวเหล็กกล้าไร้สนิมเกรด 316L ซึ่งก็ยังคงเป็นที่ถกเถียงกัน [ 2, 12, 13 ] และต้องมีผลการทดลองโดยเฉพาะการวิเคราะห์ฟิล์มบนผิวเหล็กกล้าไร้สนิม 316L ยืนยัน

ผลการเปรียบเทียบแผนภูมิการสุกร่อนภายใต้ความเค้นของเหล็กกล้าไร้สนิมเกรด 304L [3] รูปที่ 2.2 และแผนภูมิการสุกร่อนภายใต้ความเค้นของเหล็กกล้าไร้สนิมเกรด 316L ที่ได้จากการทดลองนี้ พบว่าเหล็กกล้าไร้สนิมเกรด 316L ไม่เกิดรอยแตกร้าว ดังเช่น เหล็กกล้าไร้สนิม 304L เมื่อทดสอบด้วยวิธี U-bend test ในสารละลายผสมระหว่างกรดไฮโดรคลอริก และเกลือ โซเดียมคลอไรด์ ในช่วงความเข้มข้นเดียวกัน คือ กรดไฮโดรคลอริก 0 – 10 โมล/ลิตร และ คลอไรด์ไอออนรวม 0 – 6 โมล/ลิตร

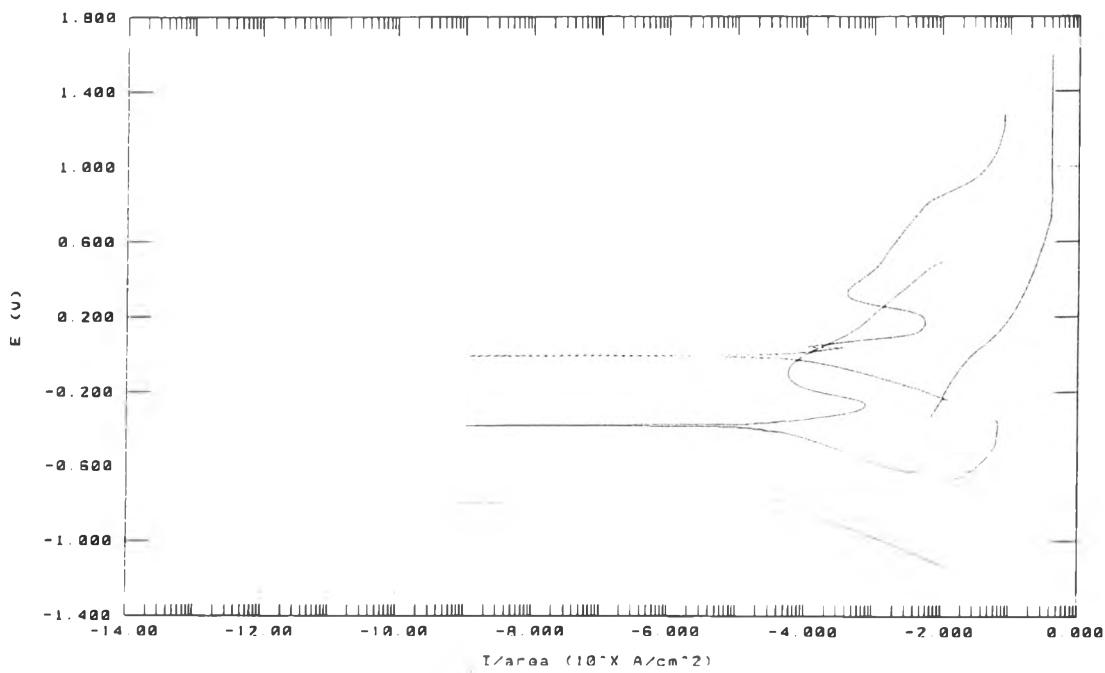


รูปที่ 4.10 เส้นโพลาริเซชันของเหล็กกล้าไร้สนิมออสเทนนิติกเกรด 316L ในสารละลายกรดไฮโดรคลอริก ที่ความเข้มข้น 0.01, 0.1 และ 1 โมล/ลิตร ที่อุณหภูมิ 30 °C  
 — HCl = 0.01 โมล/ลิตร — HCl = 0.1 โมล/ลิตร — HCl = 1.0 โมล/ลิตร

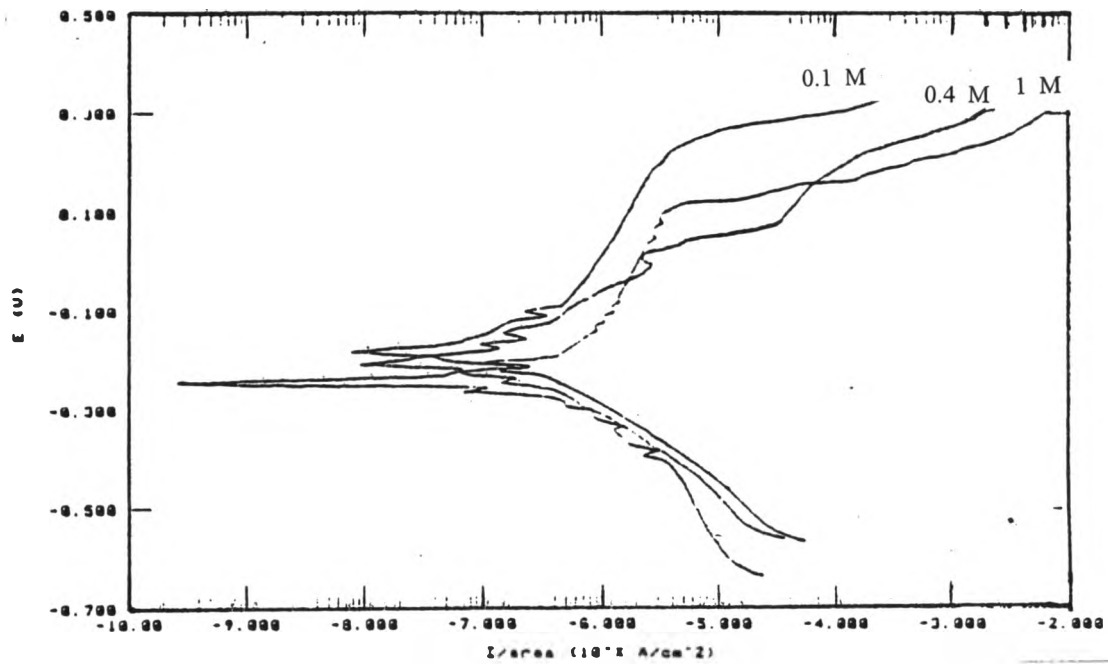


รูปที่ 4.11 เส้นโพลาริเซชันของเหล็กกล้าไร้สนิมออสเทนนิติกเกรด 316L ในสารละลายผสมระหว่างของกรดไฮโดรคลอริก 0.1 โมล/ลิตร และเกลือโซเดียมคลอไรด์ 0 - 4 โมล/ลิตร ที่อุณหภูมิ 30°C — HCl = 0.1 โมล/ลิตร — HCl = 0.1 โมล/ลิตร + NaCl = 0.9 โมล/ลิตร — HCl = 0.1 โมล/ลิตร + NaCl = 1.4 โมล/ลิตร — HCl = 0.1 โมล/ลิตร + NaCl = 3.9 โมล/ลิตร

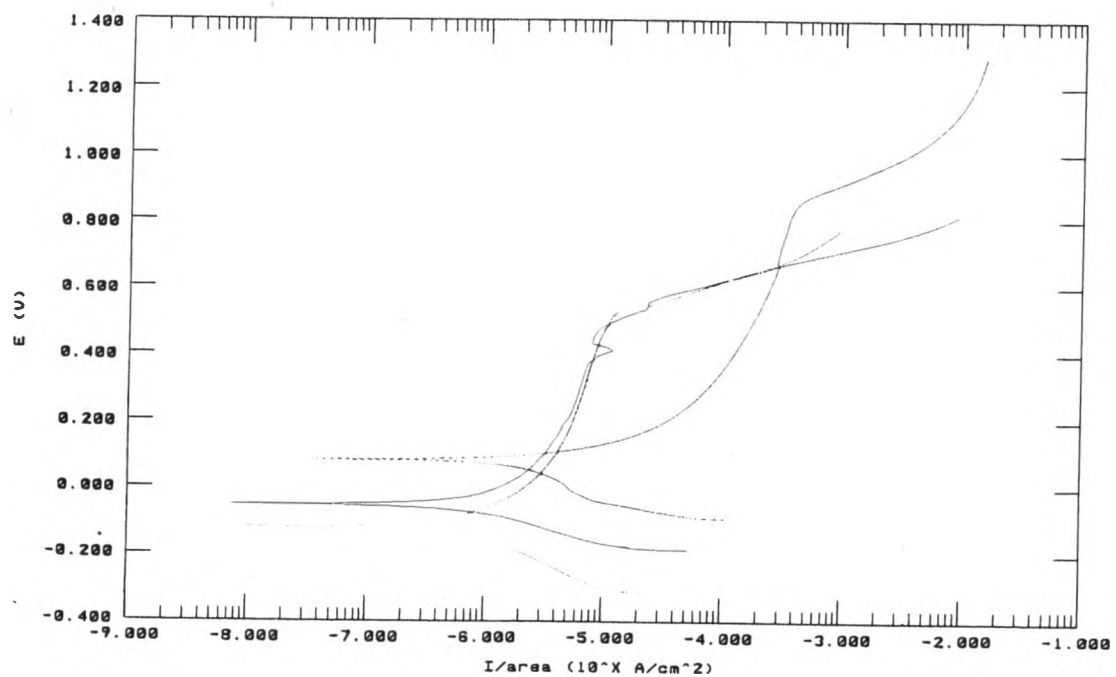




รูปที่ 4.12 เส้นโพลาริเซชันของเหล็กกล้าไร้สนิมออสเทนนิติกเกรด 316L ในสารละลายผสมระหว่างกรดไฮโดรคลอริก 0.02 - 1 โมล/ลิตร และเกลือโซเดียมคลอไรด์ 3 โมล/ลิตร คงที่ ที่อุณหภูมิ 30°C — HCl = 0.02 โมล/ลิตร + NaCl = 3 โมล/ลิตร  
 — HCl = 0.20 โมล/ลิตร + NaCl = 3 โมล/ลิตร — HCl = 1 โมล/ลิตร + NaCl = 3 โมล/ลิตร



ก. 304L [14]



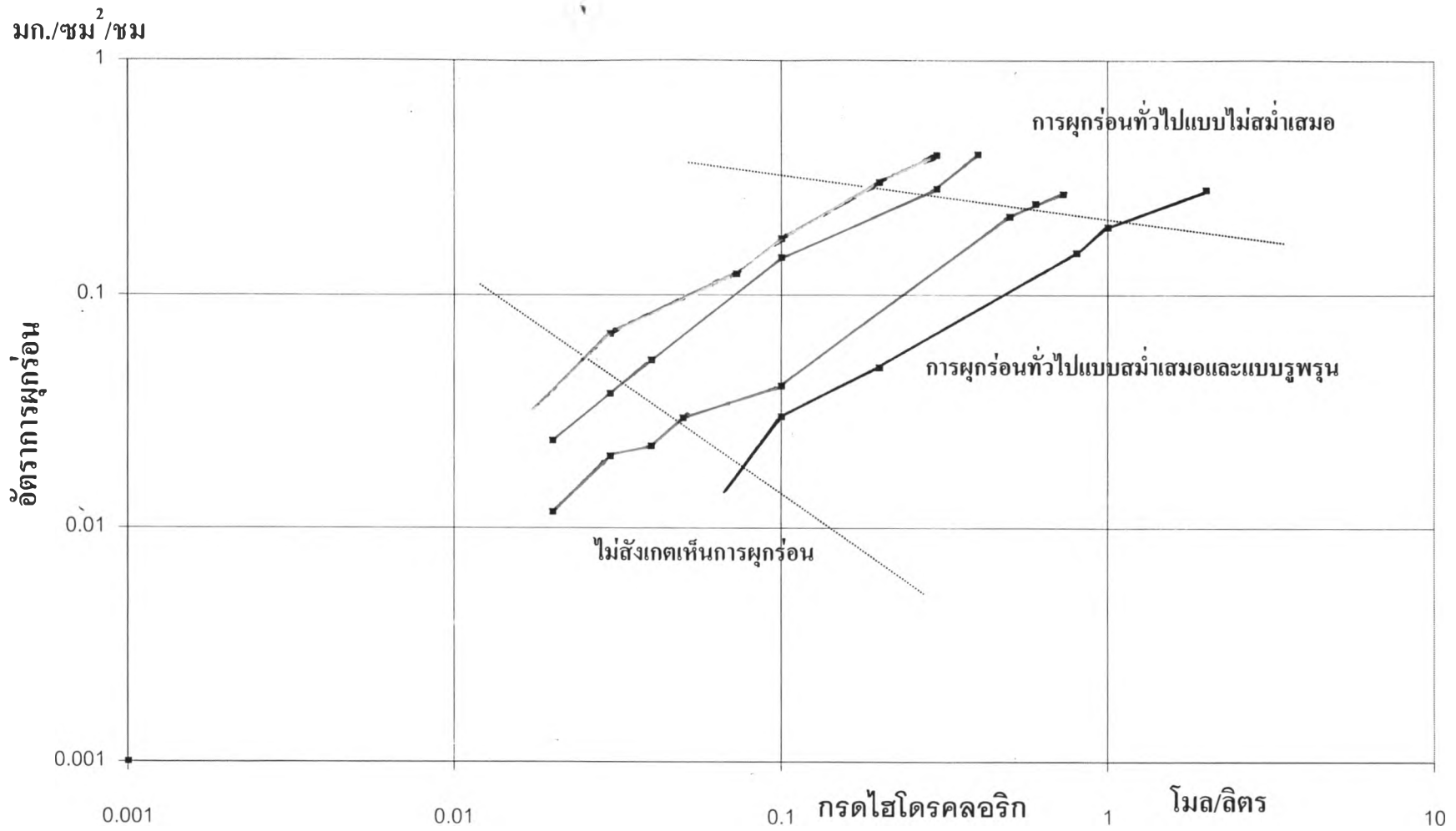
ข. 316L

รูปที่ 4.13 เปรียบเทียบผลการวัดเส้นโพลาริเซชันของเหล็กกล้าไร้สนิมออสเทนนิติกเกรด 304L [14] กับของเหล็กกล้าไร้สนิมออสเทนนิติกเกรด 316L ที่ได้จากการทดลองนี้ในสารละลายเกลือโซเดียมคลอไรด์ — NaCl = 0.1 โมล/ลิตร — NaCl = 0.4 โมล/ลิตร — NaCl = 1.0 โมล/ลิตร

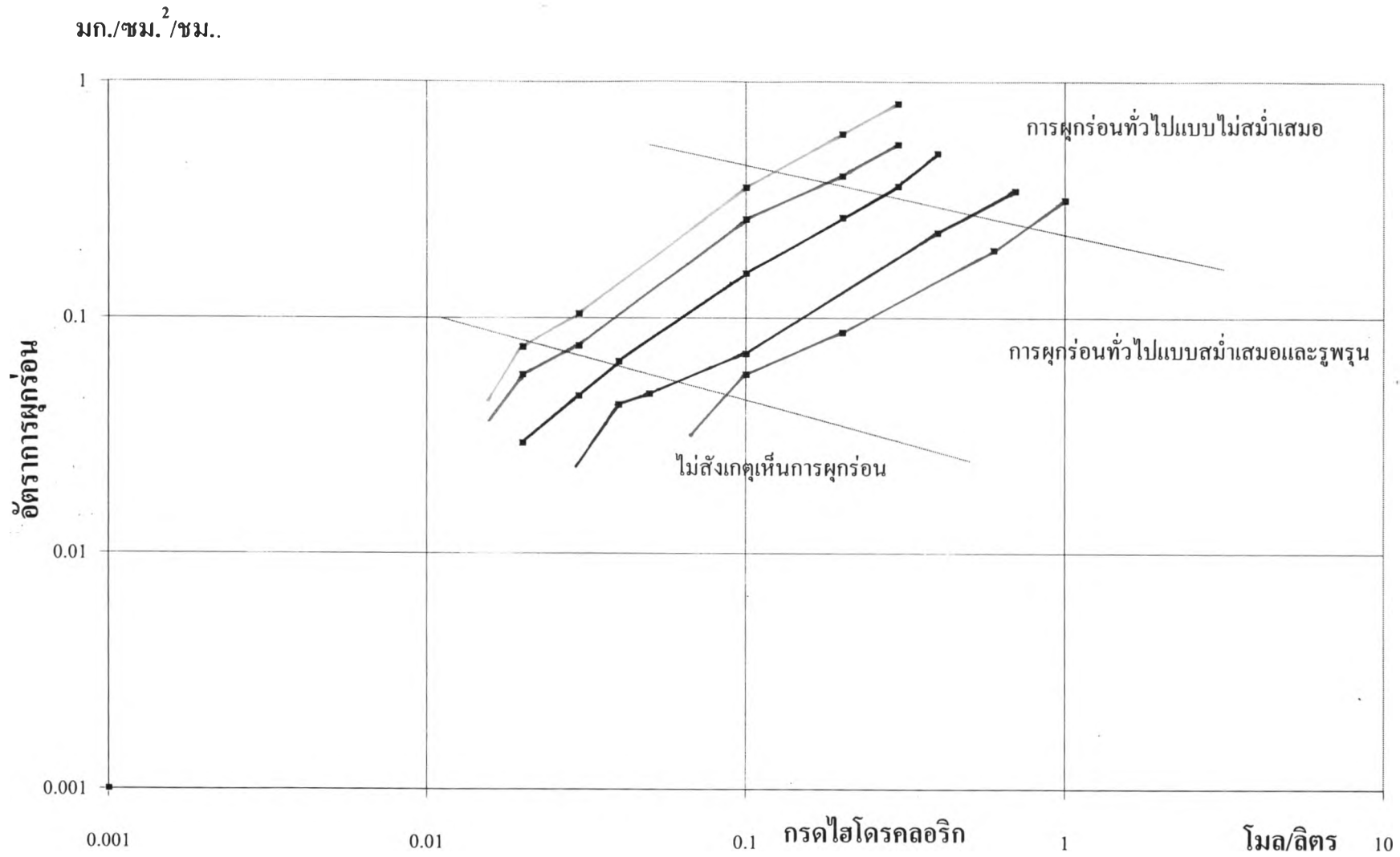
#### 4.3 ผลของอุณหภูมิและความเข้มข้นสารละลายผสมระหว่างกรดไฮโดรคลอริกและเกลือโซเดียมคลอไรด์ต่ออัตราการสุกร่อน

รูปที่ 4.14, 4.15, 4.16 และ 4.17 แสดงอัตราการสุกร่อนของเหล็กกล้าไร้สนิม 316L เมื่อความเข้มข้นของกรดไฮโดรคลอริก และปริมาณคลอไรด์ไอออนรวม เปลี่ยนแปลงที่อุณหภูมิ  $32^{\circ}\text{C}$ ,  $42^{\circ}\text{C}$ ,  $55^{\circ}\text{C}$  และ  $75^{\circ}\text{C}$  ตามลำดับ โดยทั่วไปเมื่ออุณหภูมิสูงขึ้นและความเข้มข้นระหว่างกรดไฮโดรคลอริกและปริมาณคลอไรด์ไอออนรวมเพิ่มขึ้น จะทำให้อัตราการสุกร่อนเพิ่มขึ้น ทั้งนี้เป็นเพราะว่าคลอไรด์ไอออนทำลายฟิล์มพาสซีฟ โดยจะไปรวมตัวกับโลหะไอออนกลายเป็นสารประกอบโลหะคลอไรด์ละลายเข้าไปในสารละลาย [ 2, 13 ] และอุณหภูมิจะเพิ่มความเร็วในการเคลื่อนตัวของโลหะไอออนในฟิล์ม ฟิล์มจึงมีเสถียรภาพน้อยลง กราฟอัตราการสุกร่อน ที่อุณหภูมิ  $32^{\circ}\text{C}$  และ  $42^{\circ}\text{C}$  มีความชันเป็นค่าเดียวกัน แม้ว่าลักษณะการสุกร่อนจะไม่เหมือนกันตามแผนภูมิการสุกร่อนภายใต้ความดัน ที่แบ่งลักษณะการสุกร่อนออกเป็น 3 ส่วน แต่เมื่ออุณหภูมิเพิ่มขึ้นเป็น  $55^{\circ}\text{C}$  และ  $75^{\circ}\text{C}$  จะสังเกตเห็นว่า ความชันของกราฟอัตราการสุกร่อนเปลี่ยนไป ในช่วงแรกจะมีค่าความชันมากและลดลงในช่วงลักษณะการสุกร่อนที่รุนแรงมากขึ้น

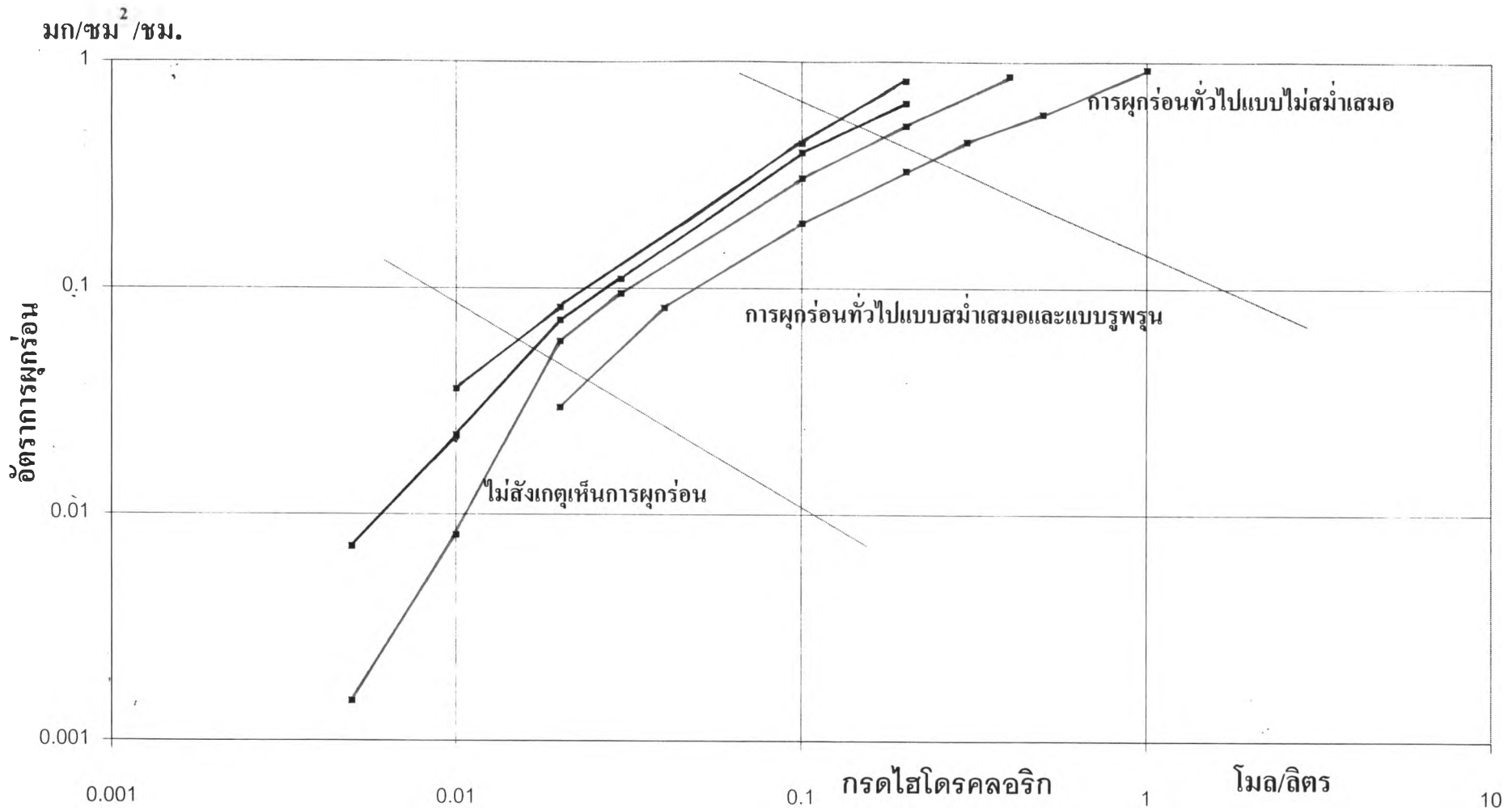
เมื่อเปรียบเทียบกราฟอัตราการสุกร่อนของเหล็กกล้าไร้สนิมเกรด 316L กับเกรด 304 (รูปที่ 2.1) พบว่า ความชันของเส้นกราฟอัตราการสุกร่อนของเหล็กกล้าไร้สนิมเกรด 304 แบ่งออกได้เป็น 3 ส่วน ในสารละลายผสมที่ช่วงความเข้มข้นระหว่างกรดไฮโดรคลอริกและเกลือโซเดียมคลอไรด์ค่าเดียวกัน อัตราการสุกร่อนของเหล็กกล้าไร้สนิมเกรด 316L จะต่ำกว่า



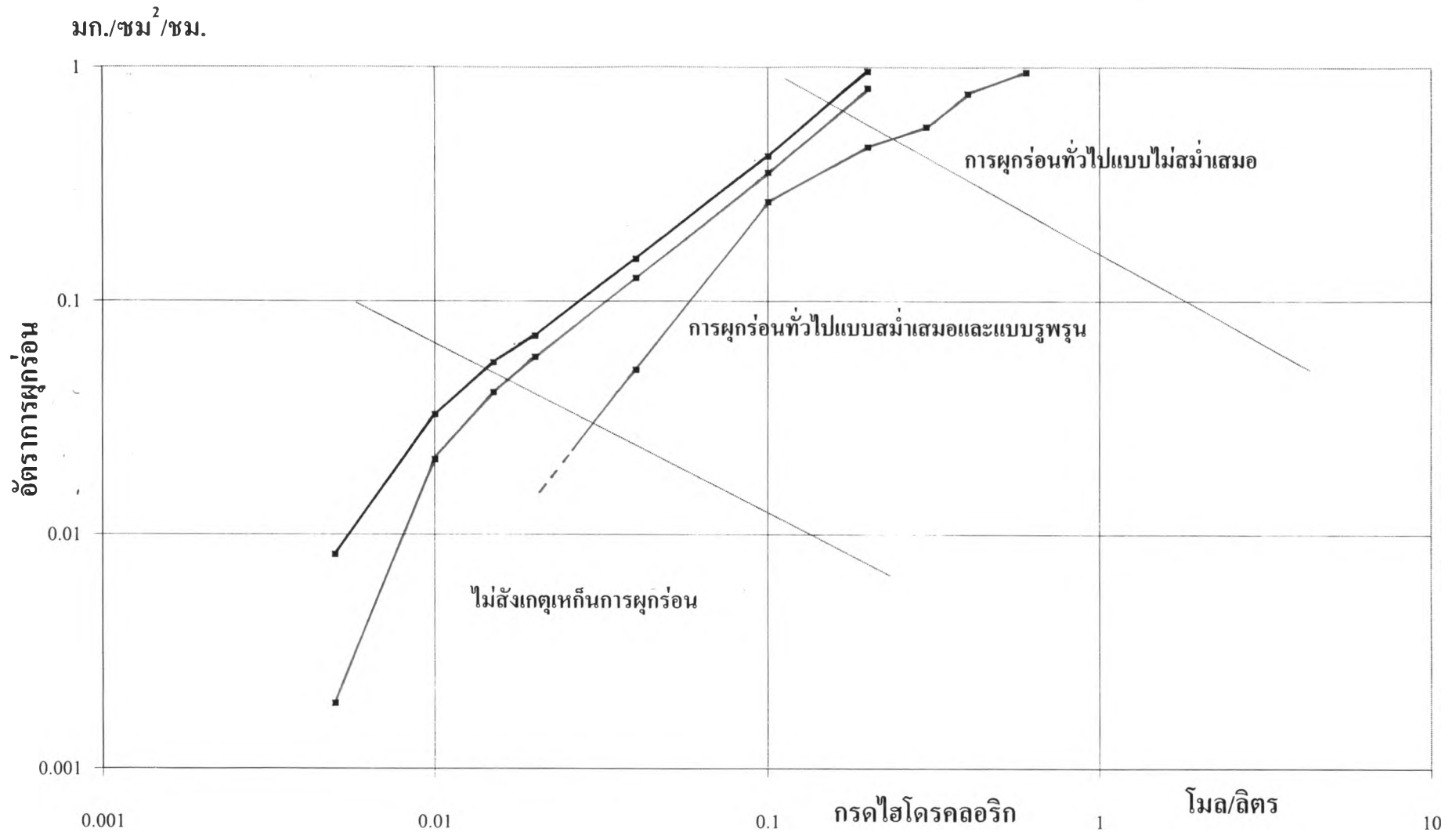
รูปที่ 4.14 กราฟแสดงอัตราการผุกร่อนของเหล็กกล้าไร้สนิมอสเทนนิติกเกรด 316L ในสารละลายผสมที่มีความเข้มข้นของกรดไฮโดรคลอริก [HCl] และคลอไรด์ไอออนรวม [Cl<sup>-</sup>] ต่างๆ ที่อุณหภูมิ 32° C ——— H<sup>+</sup> + 2 M Cl<sup>-</sup> ——— H<sup>+</sup> + 3 M Cl<sup>-</sup> ——— H<sup>+</sup> + 4 M Cl<sup>-</sup> ——— H<sup>+</sup> + 5 M Cl<sup>-</sup>



รูปที่ 4.15 กราฟแสดงอัตราการผุกร่อนของเหล็กกล้าไร้สนิมอสเทนนิติกเกรด 316L ในสารละลายผสมที่มีความเข้มข้นของกรดไฮโดรคลอริก [HCl] และคลอไรด์ไอออนรวม [Cl<sup>-</sup>] ต่าง ๆ ที่อุณหภูมิ 42°C — H<sup>+</sup> + 1.5 M Cl<sup>-</sup> — H<sup>+</sup> + 2 M Cl<sup>-</sup> — H<sup>+</sup> + 3 M Cl<sup>-</sup> — H<sup>+</sup> + 4 M Cl<sup>-</sup> — H<sup>+</sup> + 5 M Cl<sup>-</sup>



รูปที่ 4.16 กราฟแสดงอัตราการผุกร่อนของเหล็กกล้าไร้สนิมออสเทนนิติกเกรด 316L ในสารละลายผสมที่มีความเข้มข้นของกรดไฮโดรคลอริก [HCl] และคลอไรด์ไอออนรวม [Cl<sup>-</sup>] ต่าง ๆ ที่อุณหภูมิ 55°C —  $\text{H}^+ + 2 \text{M Cl}^-$  —  $\text{H}^+ + 3 \text{M Cl}^-$  —  $\text{H}^+ + 4 \text{M Cl}^-$  —  $\text{H}^+ + 5 \text{M Cl}^-$



รูปที่ 4.17 กราฟแสดงอัตราการผุกร่อนของเหล็กกล้าไร้สนิมออสเทนนิติกเกรด 316L ในสารละลายผสมที่มีความเข้มข้นของกรดไฮโดรคลอริก [HCl] และคลอไรด์ไอออนรวม [Cl<sup>-</sup>] ต่าง ๆ ที่อุณหภูมิ 75°C — H<sup>+</sup> + 1 M Cl<sup>-</sup> — H<sup>+</sup> + 3 M Cl<sup>-</sup> — H<sup>+</sup> + 5 M Cl<sup>-</sup>